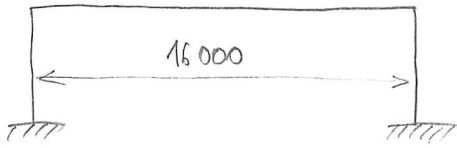


TRÁM Z UHPFRC

$$f_{kq} = 34 \text{ kN/m (kvazistál, } \psi = 0,3)$$

Vazník auditoria, záťžemí $f_k = 45 \text{ kN/m}$, $f_d = 63 \text{ kN/m}$, vzdálenost rámu u podélném směru 16 m. Deska H. 200 mm, krytý výztuže 25 mm. Ocel B500B.

Materiál UHPFRC - specifikace viz 133YVHE



MATERIALY

$$F_{cd} = \alpha_{cc} \cdot \frac{f_{ck}}{f_c} = 0,85 \cdot \frac{161}{1,13} = 105 \text{ MPa}$$

$$F_{cfod} = \alpha_{ct} \cdot \frac{f_{cFak}^{test}}{K_{p,ct}} = 0,9 \cdot \frac{9,2}{1,185 \cdot 1,13} = 5,1 \text{ MPa}$$

$$E_{c,eff} = \frac{E_{cm}}{1 + \psi(\alpha_1, \gamma)} = \frac{50}{1 + 1,57} = 19,45 \text{ GPa}$$

ZATÍŽENÍ

$$M_{Ek} = \frac{1}{8} \cdot 45 \cdot 16^2 = 1440 \text{ kNm}$$

$$M_{Ekq} = \frac{1}{8} \cdot 34 \cdot 16^2 = 1088 \text{ kNm}$$

$$M_{Ed} = \frac{1}{8} \cdot 63 \cdot 16^2 = 2016 \text{ kNm}$$

(pro jednoduchost uvažujeme ohýbací metužné spojení/ stojky a příčte $\Rightarrow M = \frac{1}{8}$)

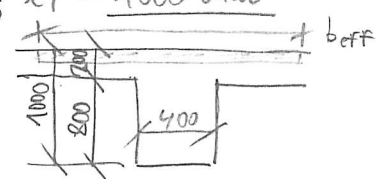
$$V_{Ed} = \frac{1}{2} \cdot 63 \cdot 16 = 504 \text{ kN}$$

ROZMĚRY

$$h_T = \left(\frac{1}{15} - \frac{1}{10} \right) l_T \rightarrow \text{návrhové subtilnější prvek} \quad h_T = \frac{1}{16} l_T = 1000 \text{ mm}$$

$$b_T = \left(\frac{1}{3} - \frac{1}{2} \right) h_T \rightarrow \text{návrh} \quad b_T = 400 \text{ mm}$$

$$d_T = h_T - c - \frac{\phi}{2} = 1000 - 25 - \frac{25}{2} = 965 \text{ mm (odhad)}$$



OHYBOVÁ VÝZTUŽ

$$A_{s1,req} = \frac{M_{Ed} - 0,95 \chi f_{cfod} K_b h_T^2}{0,9 d_T f_y} = \frac{2016 \cdot 10^6 - 0,95 \cdot 0,9 \cdot 5,1 \cdot 0,9 \cdot 1000^2}{0,9 \cdot 965 \cdot 435} =$$

$$= 3368 \text{ mm}^2 \Rightarrow \text{NAVRH: } 18 \varnothing 16 \quad (A_s = 3620 \text{ mm}^2) \text{ ve dvou radech } (2 \times 9 \varnothing 16, A_{s1} = 1810 \text{ mm}^2 = A_{s2})$$

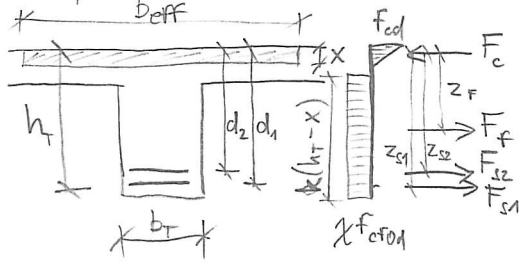
$$\text{ef. šířka: } b_{eff} = \sum_i b_{eff,i} + b_T = 1,68 + 1,68 + 0,4 = 3,76 \text{ m} = 3760 \text{ mm}$$

$$b_{eff,i} = 0,2 b_i + 0,1 l_o = 0,2 \cdot \left(\frac{6}{2} - \frac{0,4}{2} \right) + 0,1 \cdot 0,7 \cdot 16 = 1,68 \text{ m} < 0,2 \cdot 0,7 \cdot 16 = 2,24 \text{ m} \checkmark$$

$$< \frac{6}{2} - \frac{0,4}{2} = 2,8 \text{ m} \checkmark$$

Pasouzeni

Výška hlačené oblasti:



$$d_1 = h - c - \frac{\phi}{2} = 1000 - 25 - \frac{16}{2} = 967 \text{ mm}$$

$$d_2 = d_1 - \delta - 30 = 967 - 16 - 30 = 921 \text{ mm}$$

$$F_c = F_f + F_{s1} + F_{s2}$$

$$\frac{1}{2} b_{eff} \times f_{cd} = A_s f_{yd} + \chi F_{cf0d} k (h_T - x) b_T$$

$$x = \frac{A_s f_{yd} + \chi f_{cfod} k h_T b_T}{\frac{1}{2} b_{eff} f_{cd} + \chi F_{cfod} k b_T}$$

$$x = \frac{3620.435 + 0.9 \cdot 51 \cdot 0.9 \cdot 1000 \cdot 400}{\frac{1}{2} \cdot 3760 \cdot 105 + 0.9 \cdot 51 \cdot 0.9 \cdot 400}$$

$$x = 4,23 \text{ mm}$$

Unosnaf:

$$\begin{aligned}
 M_{Rd} &= F_{s1}z_{s1} + F_{s2}z_{s2} + F_f z_f = A_{s1}f_{yd}\left(d_1 - \frac{x}{3}\right) + A_{s2}f_{yd}\left(d_2 - \frac{x}{3}\right) + \\
 &+ \chi f_{cfod} k b \left(h_T - x\right) \left(h_T - \frac{k(h_T-x)}{2} - \frac{x}{3}\right) = 1810.435 \cdot \left(967 - \frac{4123}{3}\right) + \\
 &+ 1810.435 \left(921 - \frac{4123}{3}\right) + 0.9 \cdot 51.09 \cdot 400 \cdot \left(1000 - 4123\right) \left(1000 - \frac{0.9(1000-4123)}{2} - \frac{4123}{3}\right) = \\
 &= 2390 \text{ kNm} > M_{Ed}
 \end{aligned}
 \quad \left\{ \begin{array}{l} \text{dratky:} \\ 905 \text{ kNm} \end{array} \right.$$

Kom' zdrody:

$$\{ = \frac{X}{d_2} = \frac{473}{921} = 0.05 < \{_{B411} = \frac{\varepsilon_{c2}}{\varepsilon_{c2} + \varepsilon_{yd}} = \frac{0.0021}{0.0021 + 0.0027} = 0.504 \text{ ok}$$

$$A_s \geq A_{s,\min} = \min \left(0,26 \frac{f_{ctm}}{f_{vk}} b_f d_T + 0,0013 b_f d_T \right) =$$

$$= \min \left(0,26 \cdot \frac{61}{500} \cdot 400,967 ; 0,0013 \cdot 400,967 \right) = \min (1226,503) = 1226 \text{ mm}^2$$

$$A_s \leq A_{s,\max} = 0,04 b_t d_t = 0,04 \cdot 400 \cdot 967 = 15472 \text{ mm}^2 \quad \text{OK}$$

$$S_{\text{min}} = \frac{b_T - 2c - n \cdot \phi}{n-1} = \frac{400 - 2.25 - 9.16}{9-1} = 25.7 > S_{\text{min}} = \max(20, 1, 20) = 20 \text{ min or } \checkmark$$

TRAM WHOV' NA OHN

SMYK

Jinou záhlaví diagonálky:

$$V_{Rd,max} = v f_{cd} b_T \underbrace{z}_{\text{bezpečné } z_{s2}} \frac{\cot \theta}{1 + \cot^2 \theta} = 0,6 \left(1 - \frac{f_{ck}}{250} \right) \cdot 105 \cdot 400 \cdot \left(921 - \frac{423}{3} \right) \cdot \frac{115}{115^2} = \\ \text{cca } 920 \\ = 3808 \text{ kN} > V_{Ed} \quad \text{OK} \checkmark$$

Německá metodika:

$$V_{Rd,c}^f = V_{Rd,c} + V_{Rdf} = C_{Rd,c} k b_w d \sqrt[3]{100 \rho_e f_{ck}} + f_{ctk} b_w h = \\ = \frac{0,18}{1,3} \cdot \left(1 + \sqrt{\frac{200}{920}} \right) \cdot 400 \cdot 920 \cdot \sqrt[3]{100 \cdot \frac{3620}{400 \cdot 920} \cdot 161} + 51 \cdot 400 \cdot 1000 = \\ \text{bezpečné } d_2 \qquad \qquad \qquad \text{bezpečné } b \cdot d_2 \\ = 404,2 + 2040 = 2444,2 \text{ kN} > V_{Ed}$$

$$\beta_{w,min}^f = \frac{0,16 f_{ctk} - f_{ctk}}{f_y k} = \frac{0,16 \cdot 15,7 - 9,2}{500} < 0 \Rightarrow \text{min. stupeň smykového vyzložení není definován}$$

TRAM VÝHOVÍ NA SMYK BEZ TRM/NK

Fib Model Code:

$$V_{Rd,c}^f = C_{Rd,c} k b_w d \sqrt[3]{100 \rho_e f_{ck} \left(1 + 7,5 \frac{f_{Ftk}}{f_{ctk,0,05}} \right)} = \\ = \frac{0,18}{1,3} \cdot \left(1 + \sqrt{\frac{200}{920}} \right) \cdot 400 \cdot 920 \cdot \sqrt[3]{100 \cdot \frac{3620}{400 \cdot 920} \cdot 161 \cdot \left(1 + 7,5 \frac{6,7}{4,3} \right)} = \\ = 942,7 \text{ kN} > V_{Ed}$$

$f_{Ftk} = 6,7 \text{ MPa} \geq 0,08 \sqrt{f_{ck}} = 0,08 \sqrt{161} = 1,02 \text{ MPa} \Rightarrow$ lze upravit od použití formule v tramu

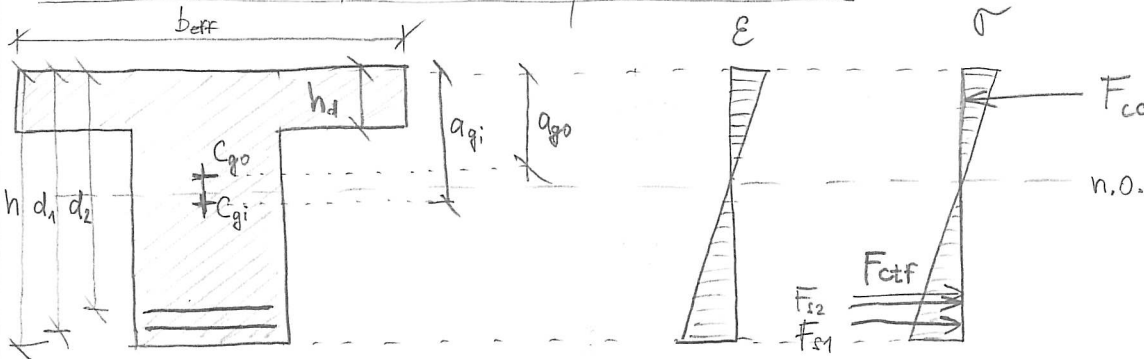
TRAM VÝHOVÍ NA SMYK BEZ TRM/NK

MEZNÍ STAV PŘETVORENÍ

Požadavek na průhyb: $f < f_{lim,lt} = \frac{16000}{250} = 64 \text{ mm}$

PRŮZEZ OD KVALITATEHO ZATÍŽENÍ

Průřez bez trhlin, krátkodobě působící zatížení



Poloha težiště průřezu C_{go} : $a_{go} = 249,25 \text{ mm}$ (pomocí programu Pilis 1.0)

Průřezová plocha betonu: $A_{co} = 1072000 \text{ mm}^2$ (dto)

Statický moment betonu: $S_{co} = A_{co} a_{go} = 2,672 \cdot 10^8 \text{ mm}^3$

Statický moment oceli: $S_{so} = A_{s1} d_1 + A_{s2} d_2 = 1810 \cdot 967 + 1810 \cdot 921 = 3,417 \cdot 10^6 \text{ mm}^3$

Statický moment drátka: $S_{fo} = \rho_f A_{co} a_{go} = \rho_f S_{co} = 0,019 S_{co} = 5,08 \cdot 10^6 \text{ mm}^3$

Pracovní součinitel: $\alpha_e = \frac{E_s}{E_{cm}} = \frac{210}{50} = 4,2$

Plocha ideálního průřezu: $A_i = A_{co} + \alpha_e (A_{s1} + A_{s2} + \rho_f A_{co}) = 1072000 + 4,2 \cdot (1810 + 1810 + 0,019 \cdot 1072000) = 1173000 \text{ mm}^2$

Težiště ideálního průřezu: $a_{gi} = \frac{S_{co} + \alpha_e (S_{so} + S_{fo})}{A_i} = 258,22 \text{ mm}$

Moment setrvačnosti průřezu bez trhlin k težišti ideálního průřezu (momenty setrvačnosti využití a drátek k jejich vlastním težišťovým osám zanedbáme, jsou velmi malé; uvažujeme jen jejich Steinerovy doplňky)

$$I_i = \underbrace{\frac{1}{12} b_{eff} h_D^3 + h_D b_{eff} \left(a_{gi} - \frac{h_D}{2} \right)^2}_{\text{deska}} + \underbrace{\frac{1}{12} b_T (h_T - h_D)^3 + (h_T - h_D) b_T \left(a_{gi} - \frac{h_T - h_D}{2} - h_D \right)^2}_{\text{trám}} +$$

$$+ \underbrace{\alpha_e A_{s1} (d_1 - a_{gi})^2 + \alpha_e A_{s2} (d_2 - a_{gi})^2}_{\text{vyztuž}} + \underbrace{\alpha_e \rho_f h_D b_{eff} \left(a_{gi} - \frac{h_D}{2} \right)^2}_{\text{drátky v desce}} +$$

$$+ \underbrace{\alpha_e \rho_f (h_T - h_D) b_T \left(a_{gi} - \frac{h_T - h_D}{2} - h_D \right)^2}_{\text{drátky v trámu}}$$

$$\begin{aligned}
 l_i &= \frac{1}{12} \cdot 3760 \cdot 200^3 + 200 \cdot 3760 \cdot \left(258,22 - \frac{200}{2}\right)^2 + \frac{1}{12} \cdot 400 \cdot (1000-200)^3 + \\
 &+ (1000-200) \cdot 400 \cdot \left(258,22 - \frac{1000-200}{2} - 200\right)^2 + \\
 &+ 4,2 \cdot 1810 \cdot (967-258,22)^2 + 4,2 \cdot 1810 \cdot (921-258,22)^2 + \\
 &+ 4,2 \cdot 9019 \cdot 200 \cdot 3760 \cdot \left(258,22 - \frac{200}{2}\right)^2 + 4,2 \cdot 9019 \cdot (1000-200) \cdot 400 \cdot \left(258,22 - \frac{1000-200}{2} - 200\right)^2 \\
 &= 2,507 \cdot 10^9 + 18,825 \cdot 10^9 + 17,067 \cdot 10^9 + 37,380 \cdot 10^6 + 3,819 \cdot 10^9 + 3,339 \cdot 10^9 + \\
 &+ 1,502 \cdot 10^9 + 2,983 \cdot 10^9 = 87,422 \cdot 10^9 \text{ mm}^4
 \end{aligned}$$

Ohybová poddajnosť:

$$C_{l_{it}} = \frac{1}{E_{cm} l_i} = \frac{1}{50 \cdot 10^9 \cdot 0,087422} = 2,288 \cdot 10^{-10} \text{ N}^{-1} \text{ m}^{-2}$$

Ohybový moment pri vzniku trhlin:

$$M_{cr,it} = f_{ctfm} \cdot \frac{l_i}{n-a_g} = 1517 \cdot \frac{87,422 \cdot 10^9}{1000-258,22} = 1850 \text{ kNm} > M_{Ek,qp} \Rightarrow$$

Nevzniknou trhliny

Průřez bez trhlin, dlouhodobě působící zatížení

$a_{g0}, A_{co}, S_{co}, S_{so}, S_f$ – viz předchozí

$$\alpha_e = \frac{E_s}{E_{eff}} = \frac{210}{19,45} = 10,8$$

$$A_i = |*| \text{ viz předchozí, pouze změna } \alpha_e | = 1331070 \text{ mm}^2$$

$$a_{gi} = |*| = 269,68 \text{ mm}$$

$$l_i = |* + změna a_{gi}| = 105,545 \cdot 10^9 \text{ mm}^4$$

Ohybová poddajnosť:

$$C_{l_{it}} = \frac{1}{E_{c,eff} l_i} = \frac{1}{19,45 \cdot 10^9 \cdot 0,105545} = 4,871 \cdot 10^{-10} \text{ N}^{-1} \text{ m}^{-2}$$

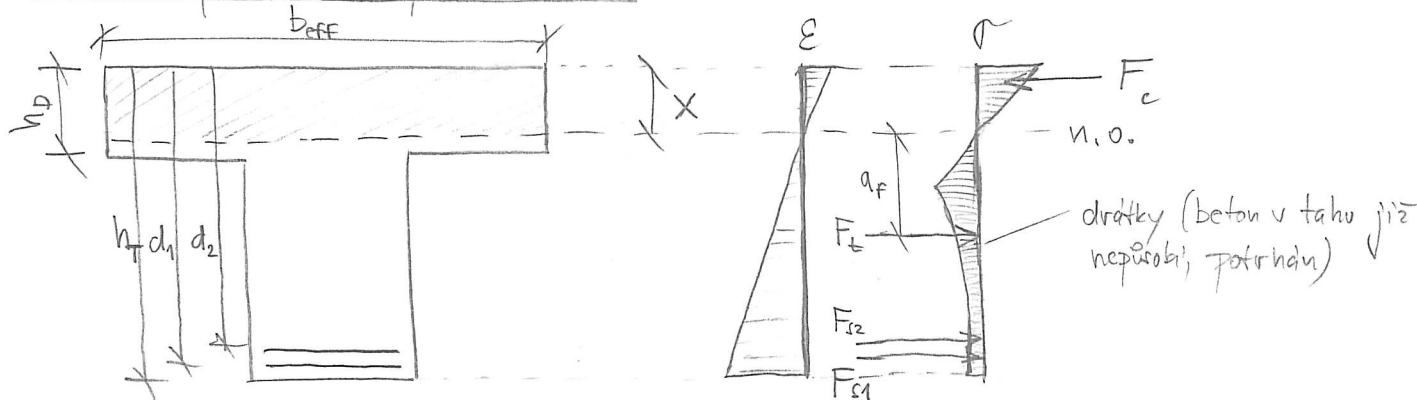
Ohybový moment při vzniku trhlin:

$$M_{cr,it} = f_{ctfm} \cdot \frac{l_i}{n-a_g} = 1517 \cdot \frac{105,545 \cdot 10^9}{1000-269,68} = 2269 \text{ kNm} > M_{Ek,qp} \Rightarrow$$

Nevzniknou trhliny

Pro kvazistálé zatížení v průřezu neuznávanou trhlinou, prohyb tedy stanovíme pro průřez bez trhlin. Pro uplnost nastavíme postup pro případ vzniku trhlin.

Průřez s plně rozvinutými trhlinami



Poloha n.o. (z rovnosti statických momentů tlacené a tažené části, tažené drátky ve spolupůsobení dle se neuvážujeme)

$$S_c = S_t$$

$$\underbrace{b_{eff}x \cdot \frac{x}{2}}_{\text{tlacený beton}} + \underbrace{\alpha_e p_f b_{eff}x \cdot \frac{x}{2}}_{\text{tlacené drátky}} = \underbrace{\alpha_e A_{s1}(d_1 - x) + \alpha_e A_{s2}(d_2 - x)}_{\text{ocel}} + \underbrace{+ \alpha_e p_f b(h-x) \cdot \overline{a_f}}_{\text{tažené drátky v frému}}$$

nezadane - bylo by nutno mít k dispozici takový deformaciální diagram materiálu a z něj stanovit polohu výslednice

⇒ Upravou bychom získali kvadratickou rovnici pro x a stanovili polohu n.o.

Výpočet vychází z předpokladu, že n.o. leží v dersce. Pokud by toto nebylo splněno, bylo by nutno rovnici patřičně upravit.

Moment retrvačnosti ideálního průřezu s trhlinou (opět uvažujeme jen Steinerovy doplňky oceli a drátek):

$$I_{ir} = \underbrace{\frac{1}{12} b_{eff} x^3}_{\text{tlacený beton}} + \underbrace{b_{eff} x \cdot \left(\frac{x}{2}\right)^2}_{\text{tlacené drátky}} + \underbrace{\alpha_e p_f b_{eff} x \left(\frac{x}{2}\right)^2}_{\text{ocel}} + \underbrace{+ \alpha_e A_{s1}(d_1 - x)^2 + \alpha_e A_{s2}(d_2 - x)^2}_{\text{ocel}}$$

$$+ \alpha_e p_f b(h-x) \cdot \overline{a_f^2} - \text{viz předchozí!}$$

Pokud nejsme schopni určit $\overline{a_f^2}$, tažené drátky zanedbáme.

Vztah opět vychází z premisy, že n.o. leží v dersce ($x \leq h_D$).

Po stanovení lir pro krátkodobé a dlouhodobé působení zatížením (stejně vztahy, jiná hodnota a_e - viz průřez bez trhlin) se stanoví ohýbové poddajnosti průřezu s trhlinou:

$$C_{11,st} = \frac{1}{E_{cm} l_{ir}} \quad \text{a} \quad C_{11,lt} = \frac{1}{E_{c,eff} l_{ir}}$$

Míra tahového zpevnění průřezu (spoluúčinem betonu mezi trhlinami)

Jelikož nezávaznou trhliny, je $\zeta_{st} = \zeta_{lt} = 0$

Obecně je $\zeta = 1 - \beta \left(\frac{M_{cr}}{M_{Ed,pp}} \right)^2$ kde $\beta = 1,0$ pro krátkodobé a $\beta = 0,5$ pro dlouhodobé účinky zatížení.

Křivost od kvazistatického zatížení

$$\left(\frac{1}{r}\right)_{st} = M_{Ek,pp} \left[(1 - \zeta_{st}) C_{1,st} + \cancel{\zeta_{st} C_{1,st}} \right] = \\ = 1088 \cdot 10^3 \cdot (1 - 0) \cdot 21288 \cdot 10^{-10} = 2,49 \cdot 10^{-4} \text{ m}^{-1}$$

$$\left(\frac{1}{r}\right)_{lt} = M_{Ek,pp} \left[(1 - \zeta_{lt}) C_{1,lt} + \cancel{\zeta_{lt} C_{1,lt}} \right] = \\ = 1088 \cdot 10^3 \cdot (1 - 0) \cdot 41871 \cdot 10^{-10} \text{ N}^{-1} \text{ m}^{-1} = 5,13 \cdot 10^{-4} \text{ m}^{-1}$$

Průhyb od kvazistatického zatížení

$$f = k \cdot L^2 \cdot \frac{1}{r} \quad , \quad \text{kde } k \text{ je součinitel dle typu zatížení a podepření.} \\ \text{Pro pravidlo nosník - spojite zatížení} \quad k = \frac{5}{48}$$

$$f_{st} = \frac{5}{48} \cdot 16^2 \cdot 2,49 \cdot 10^{-4} = 6,64 \text{ mm}$$

$$f_{lt} = \frac{5}{48} \cdot 16^2 \cdot 5,13 \cdot 10^{-4} = 14,13 \text{ mm}$$

PRŮHÝB OD SMRŠTĚNÍ

Pro smršťování uvažujeme rovněž součinitel dotvarování $\varphi(\infty, 7)$, takže charakteristiky ideálních průřezů můžeme převést z výpočtu průhybu od zatížení. Smrštem působí dlouhodobě (tj uvažujeme veličiny s indexem „lt“).

Statický moment tažené vytváří k težišti ideálního průřezu bez trhlin (výzkum bránil smrštem betonu u dolního povrchu \Rightarrow nárast křivosti):

$$S_i = A_{s1} (d_1 - a_{gi}) + A_{s2} (d_2 - a_{gi}) = 1810(967 - 269,68) + 1810(921 - 269,68) = \\ = 2,441 \cdot 10^6 \text{ mm}^3$$

Statický moment tažené vytváří k težišti ideálního průřezu s trhlinami S_{ir} by se stanovil obdobně, pouze místo a_{gi} bychom dosadili \times (poloha n.o.).

Křivost od smrštem:

$$\left(\frac{1}{r}\right)_{cr} = \epsilon_{cr} \alpha_c \left[(1 - \zeta_{lt}) \frac{S_i}{T_i} + \zeta_{lt} \frac{S_{ir}}{T_{ir}} \right] = \\ = 0,0009 \cdot 10,8 \cdot (1 - 0) \cdot \frac{2,441 \cdot 10^6}{105,545 \cdot 10^9} = 2,25 \cdot 10^{-7} \text{ mm}^{-1} = \\ = 2,25 \cdot 10^{-4} \text{ m}^{-1}$$

Průhyb od smrštem:

$$f_{cr} = k \cdot L^2 \cdot \left(\frac{1}{r}\right)_{cr} \quad k = \frac{1}{8} \quad (\text{smrštem vyvazuje konstantní moment})$$

$$f_{cr} = \frac{1}{8} \cdot 16^2 \cdot 2,25 \cdot 10^{-4} = \underline{\underline{7,19 \text{ mm}}}$$

PОСОУЗЕНІ

$$f = f_{lt} + f_{cr} = 14,73 + 7,19 = \underline{\underline{21,92 \text{ mm}}} < f_{lim} = 64 \text{ mm}$$

TRAM VYHOVÍ NA PRŮHYB

MEZNÍ STAV OMEZENÍ NAPĚTI

(9)

Omezení napětí ve výztuži (průřez bez trhlin, dle uvedeného výšky napětí)

$$\tau_c = \frac{M_{Ek}}{W_i} = \alpha_e \frac{M_{Ek}}{I_i} (d_y - a_{gi}) \leq 0,8 f_y k$$

v dolní výztuži větší napětí bez trhlin

$$10,8 \cdot \frac{1440 \cdot 10^6}{87,442 \cdot 10^9} (967 - 269,68) \leq 0,8 \cdot 500$$

$$124,05 \text{ MPa} \leq 400 \text{ MPa} \quad \text{OK}$$

Omezení napětí v betonu:

$$\tau_c = \frac{M_{Ek}}{W_i} = \frac{M_{Ek}}{I_i} \cdot a_{gi} \leq 0,6 f_{ck}$$

$$\frac{1440 \cdot 10^6}{87,442 \cdot 10^9} \cdot 269,68 \leq 0,6 \cdot 161$$

$$4,44 \text{ MPa} \leq 96,6 \text{ MPa} \quad \text{OK}$$

Navíc $\tau_c < 0,45 f_{ck}$, takže lze uvažovat lineární dotvarovadlo.

TRAM VYHOVÍ Z HLEDISKA OMEZENÍ NAPĚTI

MEZNÍ STAV ŠÍRKY TRHLIN

obvyklé (zde ještě na typu kce)

Poružuje se v průřez bez trhlin pro kvadratickou zatížení → Trhliny nevzniknou

(Pokud by vznikly – postup viz 2. přednáška YHIB)

TRAM VYHOVÍ Z HLEDISKA ŠÍRKY TRHUN

POZNAMKY

- Ohybová únosnost prvku je dlema především ramecem vnitřních sil, to se použitím lepíks betonu a drátka sice zlepší, ale nezadruží. Vliv na ohybovou únosnost tedy nemá rozhodující.
- Vliv na smykovou únosnost je markantní. Vypočet dle Německé metodiky se vžak zdaří až příliš optimisticky — uvažovat o plnou únosnosti drátka na celé ploše průsezu dle mého názoru nemá smysl.
- Vliv na prohlyby je opět zcela zdaleka, neboť v konstrukci od kvazistatického zatížení nevznikou trhliny a prohlyby jsou tak velmi malé (de facto je třeba počítat pružné, zdušené hodnoty li a lit, pak $f_{lt} = \frac{5}{384} \frac{fL^4}{E_{c,eff} l_{ir}}$)
- Vzhledem k tomu, že nerohoduje MCP, bylo by teoreticky možné navrhnout ještě subtilnější prvek s výším vyztužením.
- ^{Detailní} Srovnávací vypočet prvku z žádného betonu nemá k dispozici. Vyjdeme-li z předpokladu, že použijeme beton C30/37 a budeme chtít dodržet kritérium ohybové řtíhlosti, třebaže odhadnout průsez 500/1500 + 7x25 (excel). Při obdobné ploše vyztuže je spotřeba betonu cca dvojnásobek, navíc by bylo potřeba navrhnout také trhlinky. To by stalo neospravedlnilo výrazně výšší jednotkovou cenu UHPPRC. V případě požadavku na omezení výšky trámu a zachování minimálních prohlyb (specifické technologie v budově) by vžak mohla nastat situace vyžadující použití UHPPRC.
- Při vypočtu charakteristik idradního průsezu bylo korektní nahradit výudle α_e za $(\alpha_e - 1)$ — odečíst plochu oceli od plochy betonu. Při použití přístupu je uvažován plný betonový průsez bez „otvorů“ pro výzvaz, čímž je jeho tuhost v měře zvýšena. Rozdíl je vžak zanedbatelný (v řádu max. jednotek procent).